

- Úvod do tématiky, základní literatura.
- Interakce elektronů s pevnou látkou.
- Typy elektronových mikroskopů. TEM a SEM.
- Pracovní módy elektronových mikroskopů, konstrukce.
- Příprava vzorků pro TEM.

Základní literatura:

D. B. Williams a C. B. Carter: Transmission Electron Microscopy (4 díly, Plenum Press, NY, 1996)

J. Goldstein aj.: Scanning Electron Microscopy and X-Ray Analysis (3rd ed., Kluwer, NY, 2003)

P. B. Hirsch aj.: Electron Microscopy of Thin Crystals (Butterworths, London, 1965 nebo pozdější dotisky)

M. Karlík: Úvod do transmisní elektronové mikroskopie (vydalo nedávno nakladatelství ČVUT, Praha, 2011)

Další zdroje: www.jems-saas.ch (Pierre Stadelmann, Lausanne, CH)
 www.amc.anl.gov (microscopy and microanalysis server)

.....

Historie:

první TEM: 1932 (Knoll a Ruska, Nobelova cena 1986)

1949: Heidenreich ztenčuje kovové fólie

50. léta: pozorování čarových a plošných defektů krystalové mřížky, rozvoj mikroanalytických metod, vysokovoltážní a *in situ* mikroskopie, řádkovacích módů, rozlišení ~ 0.4 nm

1956: atomové roviny (lattice fringes) v pthalokyaninech (Menter)

1957: Cowley, Moodie: základy teorie a simulace HRTEM obrazu

+

zlepšení teplotní stability, mechanické stability, kvality vakua, elektronické stability, designu čoček (CS korektory, energiové filtry), nové typy katod

+

zlepšení možnosti reprodukovatelné přípravy kvalitních tenkých fólií

↓

rozlišovací schopnost ~ 0.1 nm

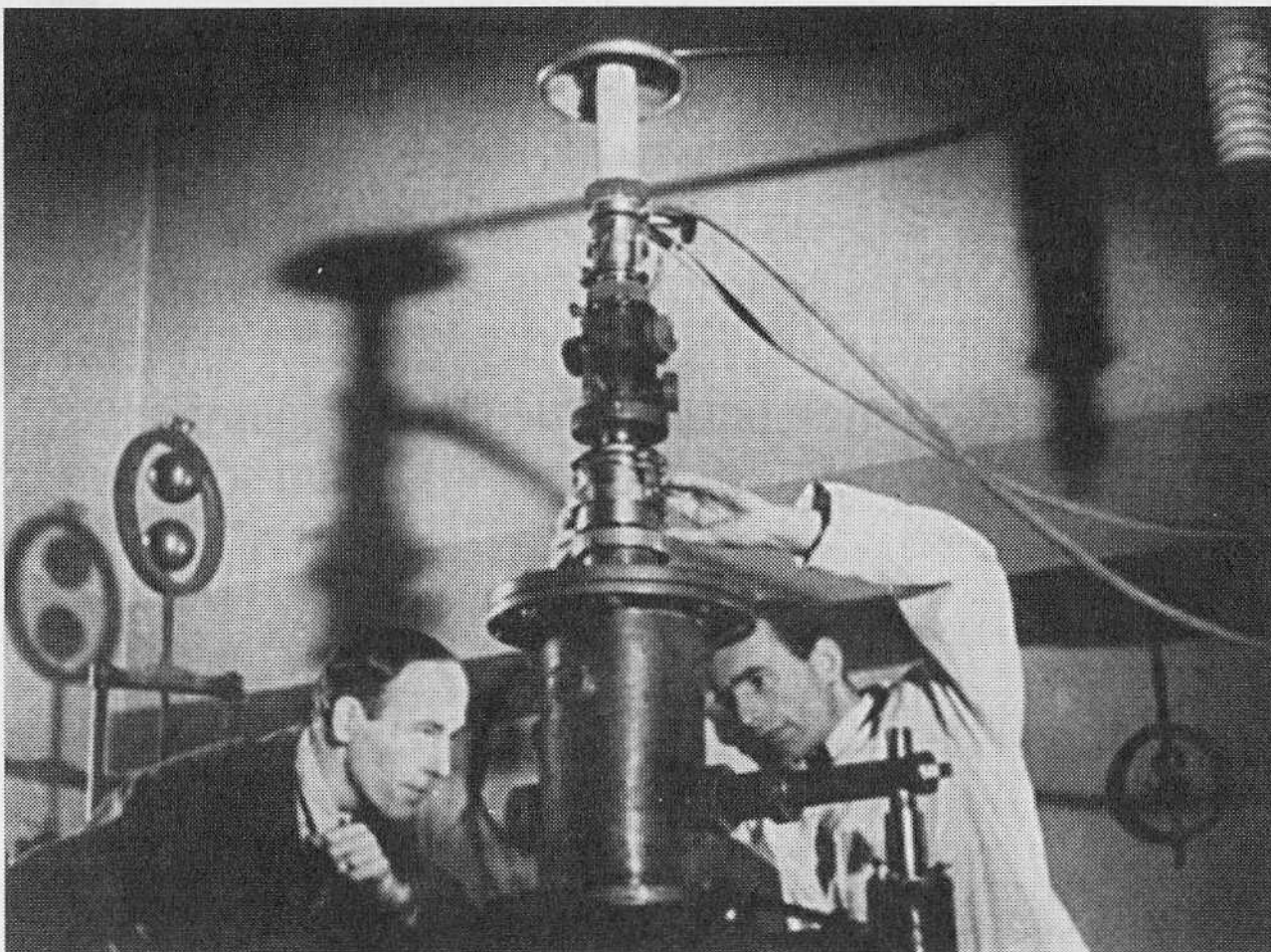
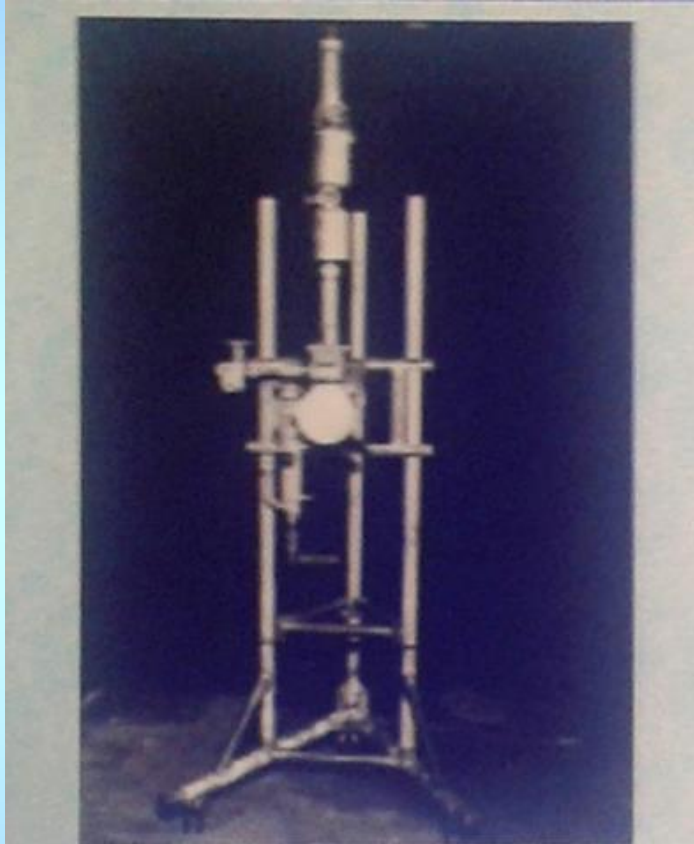


Figure 1.1. The electron microscope built by Ruska and Knoll in Berlin in the early 1930s.

1931:
16x
2 čočky

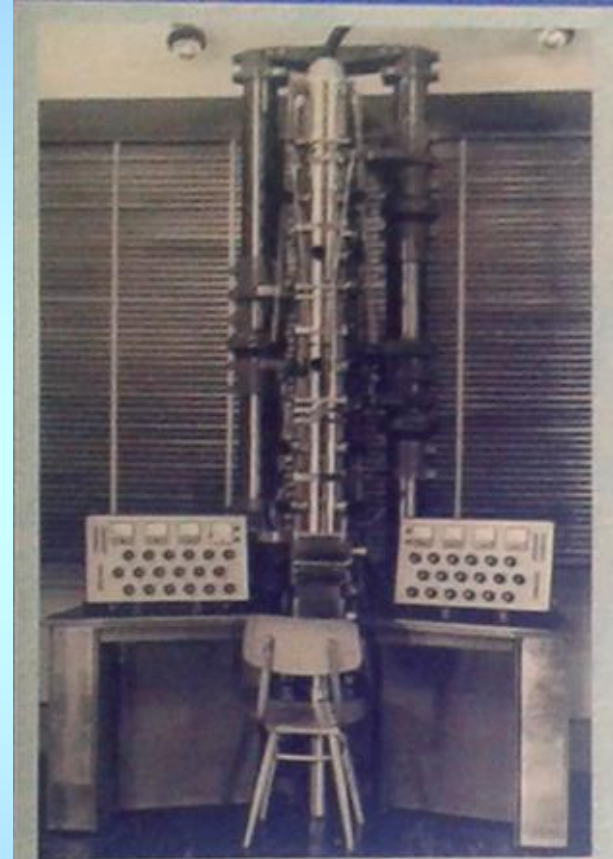
1933:
12000x
Rozlišení lepší než
světelný mikroskop

Brno, 1950



The first ("three-legged")
Czechoslovak electron
microscope is born in Brno

Brno, 1968



Brno: a 150 keV TEM
aiming for 2 Å resolution.

Elektronové mikroskopy

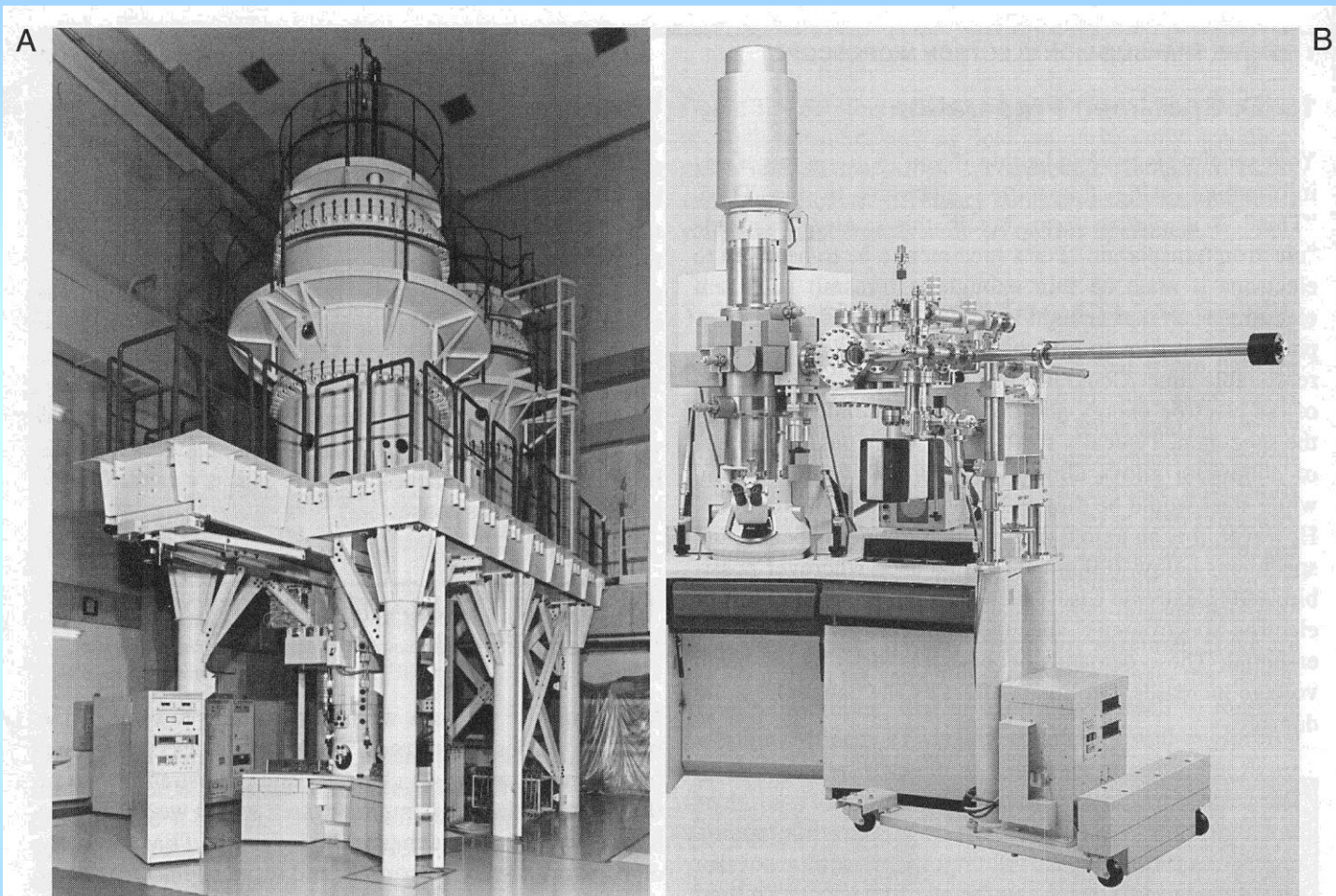


Figure 1.9. Different TEMs: (A) a JEOL 1.25-MV high voltage microscope, used for high-resolution imaging; (B) a Hitachi specialized ultrahigh vacuum TEM for high-resolution surface imaging; (C) a Philips 200-kV analytical microscope with an X-ray spectrometer attached to the stage (the liquid-N₂ dewar cools the detector); and (D) a VG dedicated 100-kV ultrahigh vacuum scanning transmission microscope. Comparison with Ruska's instrument (Figure 1.1) which is 50–60 years older is instructive.



Titan G2 60-300	Energy spread	Point resolution	Information limit	STEM resolution
Image corrector	0.7 to 0.8 eV**	80 μm	80 μm	136 μm
Probe corrector	0.7 to 0.8 eV**	200 μm	< 100 μm	80 μm
Monochromator + X-FEG	0.2 to 0.3 eV*	200 μm	80 μm	136 μm

Interakce elektronů s pevnou látkou

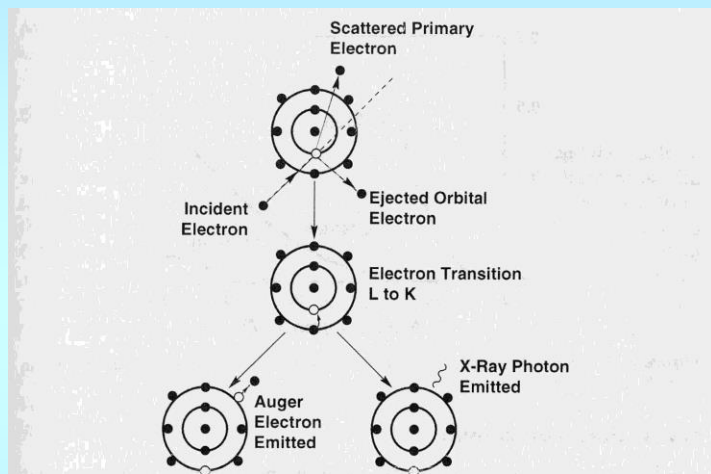


Figure 6.5. Inner shell electron ionization in an atom and subsequent de-excitation by electron transitions. The incident electron is elastically scattered. The unscattered direction of the incident electron is shown by the dotted line. The difference in energy from an electron transition is expressed either as the ejection of an energetic electron with characteristic energy (Auger process) or by the emission of a characteristic x-ray photon.

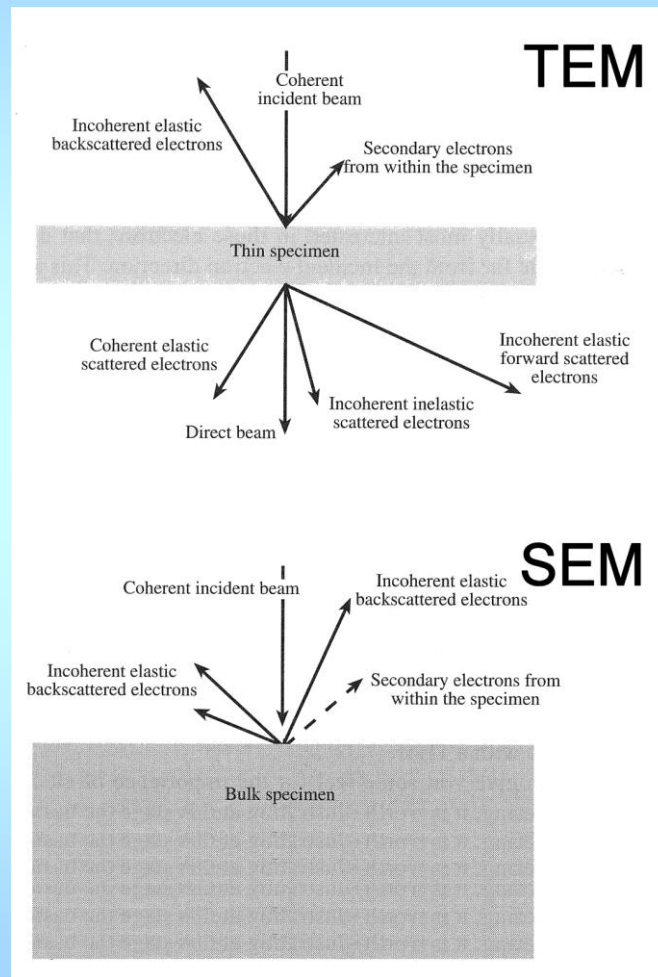
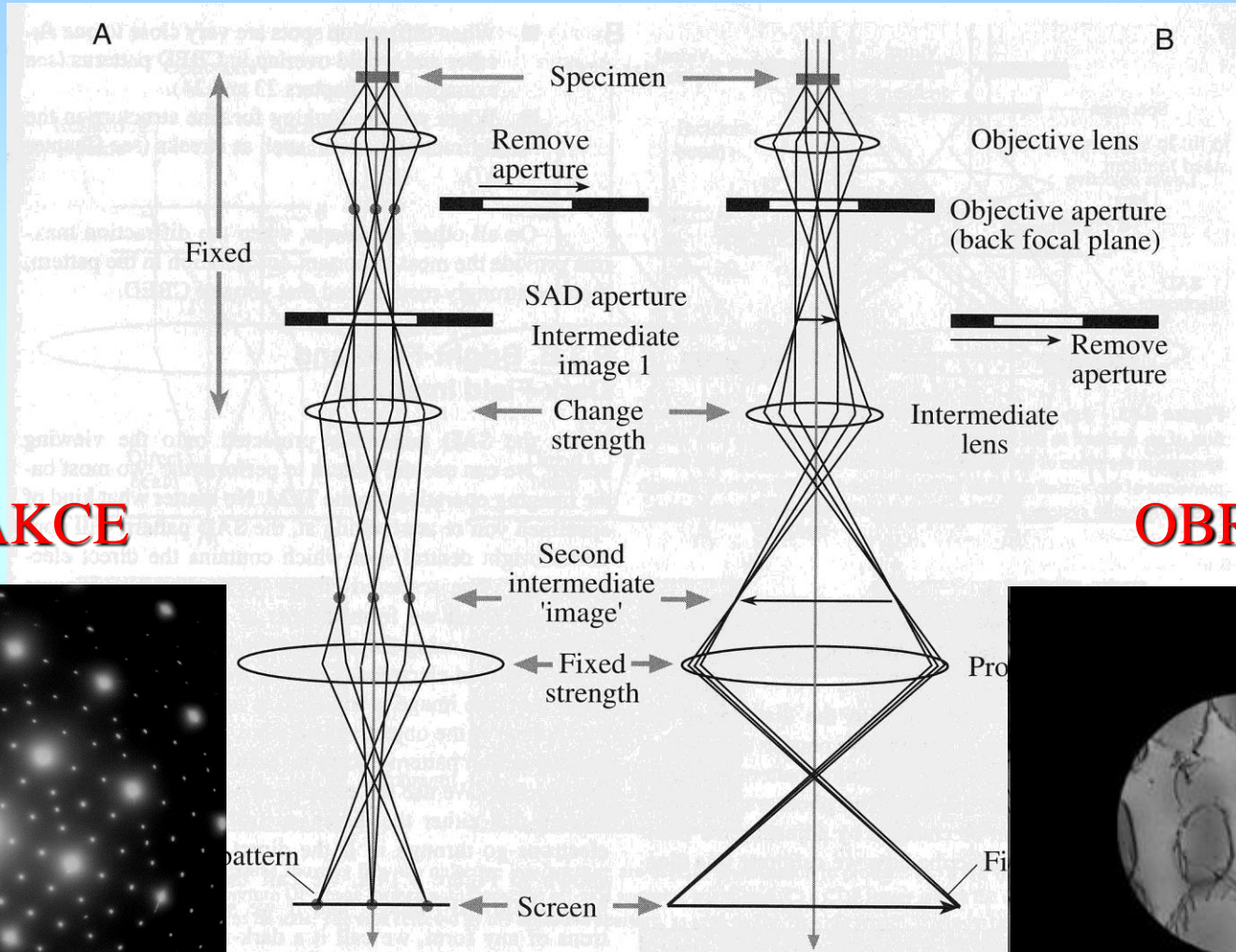
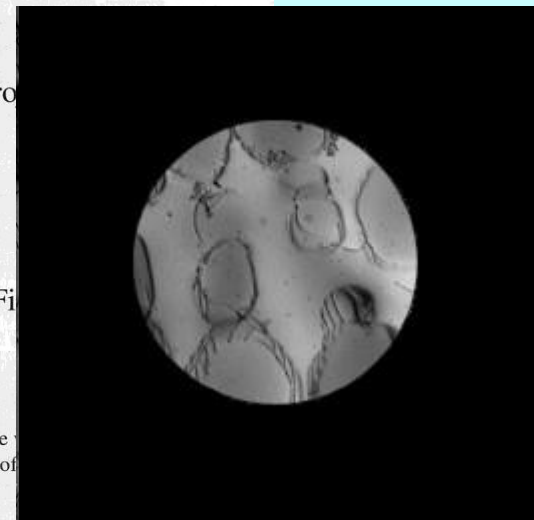
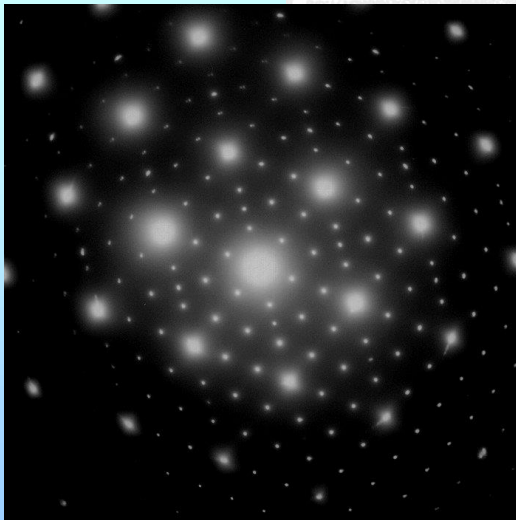


Schéma chodu elektronového svazku v TEM



DIFRAKCE

OBRAZ

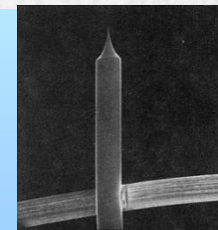
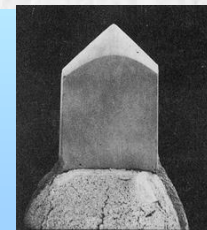
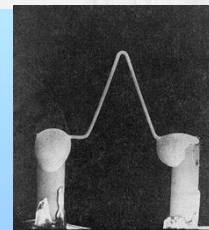


The basic operations of the TEM imaging system involve (A) projecting the diffraction pattern on the screen. In each case the intermediate lens selects either the back focal plane or the image plane of the objective lens.

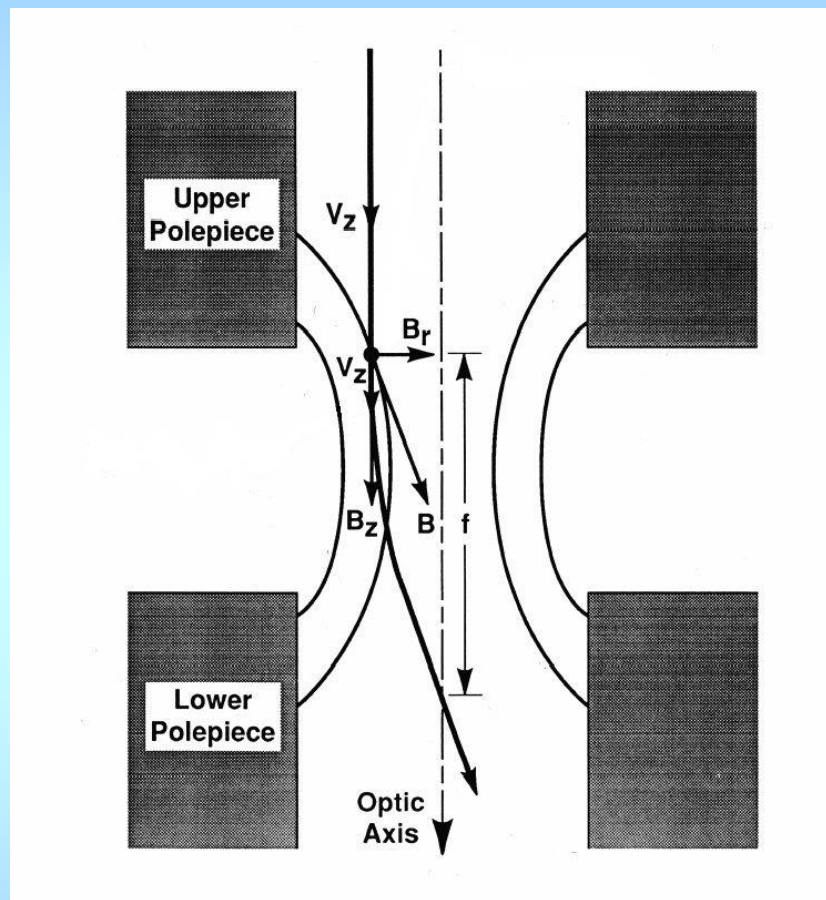
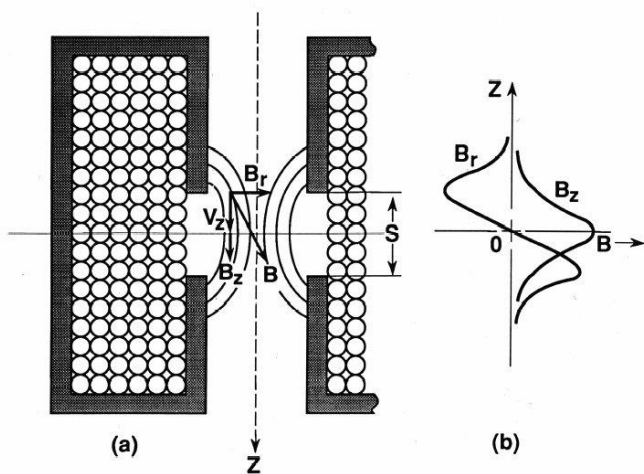
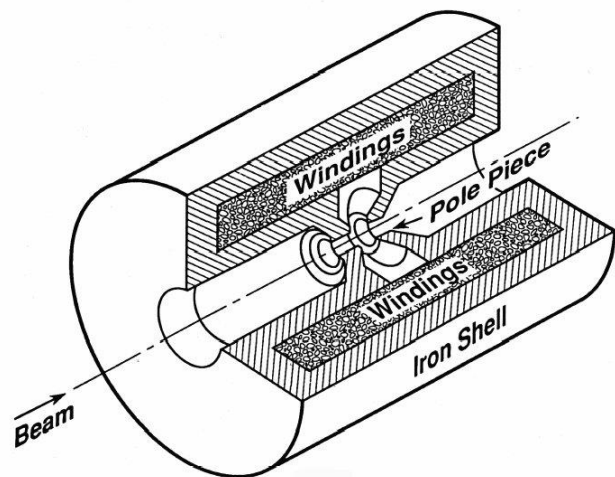
Vlastnosti elektronových zdrojů - porovnání

TABLE 5.1. Characteristics of the Three Principal Sources Operating at 100 kV

	Units	Tungsten	LaB ₆	Field Emission
Work function, Φ	eV	4.5	2.4	4.5
Richardson's constant	A/m ² K ²	6×10^5	4×10^5	
Operating temperature	K	2700	1700	300
Current density	A/m ²	5×10^4	10^6	10^{10}
Crossover size	μm	50	10	<0.01
Brightness	A/m ² sr	10^9	5×10^{10}	10^{13}
Energy spread	eV	3	1.5	0.3
Emission current stability	%/hr	<1	<1	5
Vacuum	Pa	10^{-2}	10^{-4}	10^{-8}
Lifetime	hr	100	500	>1000



Elektromagnetická čočka:

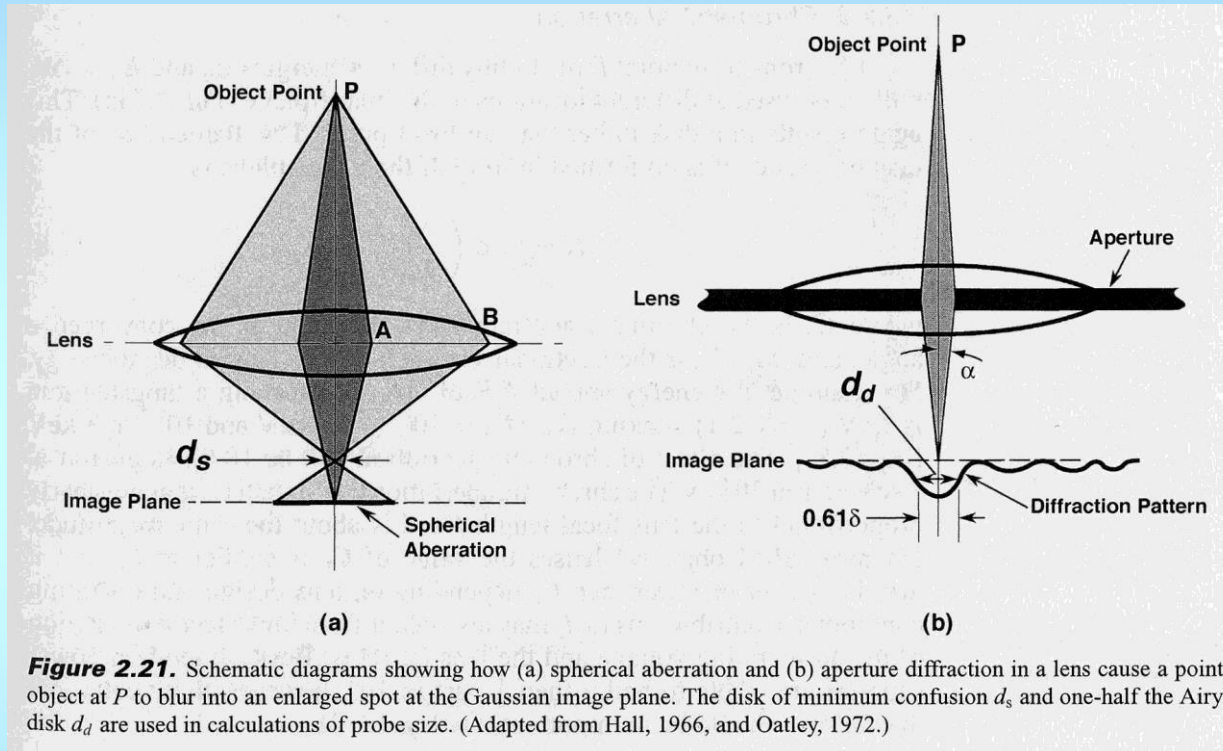


$$\mathbf{F} = -e\mathbf{v} \times \mathbf{B}$$

$$F_{\theta in} = -V_z \times B_r$$

$$F_r = -V_{\theta in} \times B_z$$

Vady čoček v EM: sférická vada a efekt difrakce na cloně



$$d_s = C_s \alpha^3$$

$$C_s = 1 \div 2 \text{ mm}$$

$$d_d = 0.61 \lambda / \alpha$$

Abbe, Airy

Vady čoček v EM: vliv na rozlišovací schopnost EM

$$d = \sqrt{d_d^2 + d_s^2} = \sqrt{(0.61\lambda / \alpha)^2 + (C_s \alpha^3)^2}$$

$$\frac{\partial d}{\partial \alpha} = 0 \Leftrightarrow \alpha_{opt} \doteq 0.77 \frac{\lambda^{1/4}}{C_s^{1/4}}, \quad d_{min} \doteq 0.91 (C_s \lambda^3)^{1/4} \approx 0.15 \text{ nm}$$

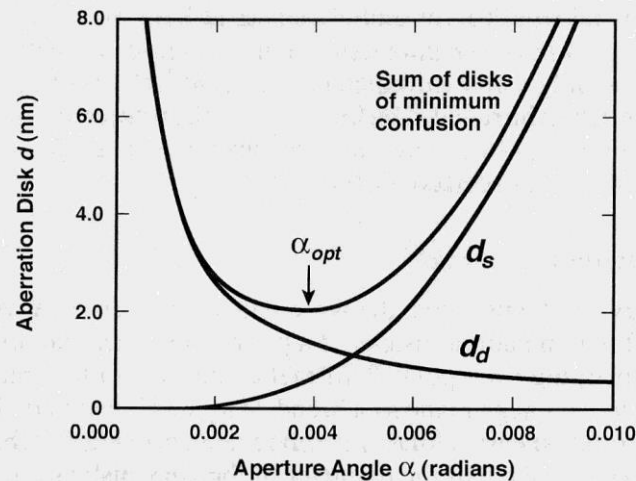


Figure 2.22. Spherical aberration disk d_s and aperture diffraction disk d_d plotted against aperture angle α . For the smallest electron probe and the best image resolution, the aperture angle is taken as α_{opt} .

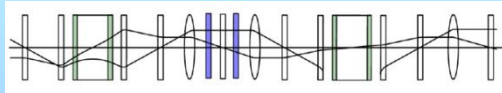
Z historie korekcí vad čoček v EM:

Otto Scherzer (1936): teorém o vadách rotačně symetrických čoček

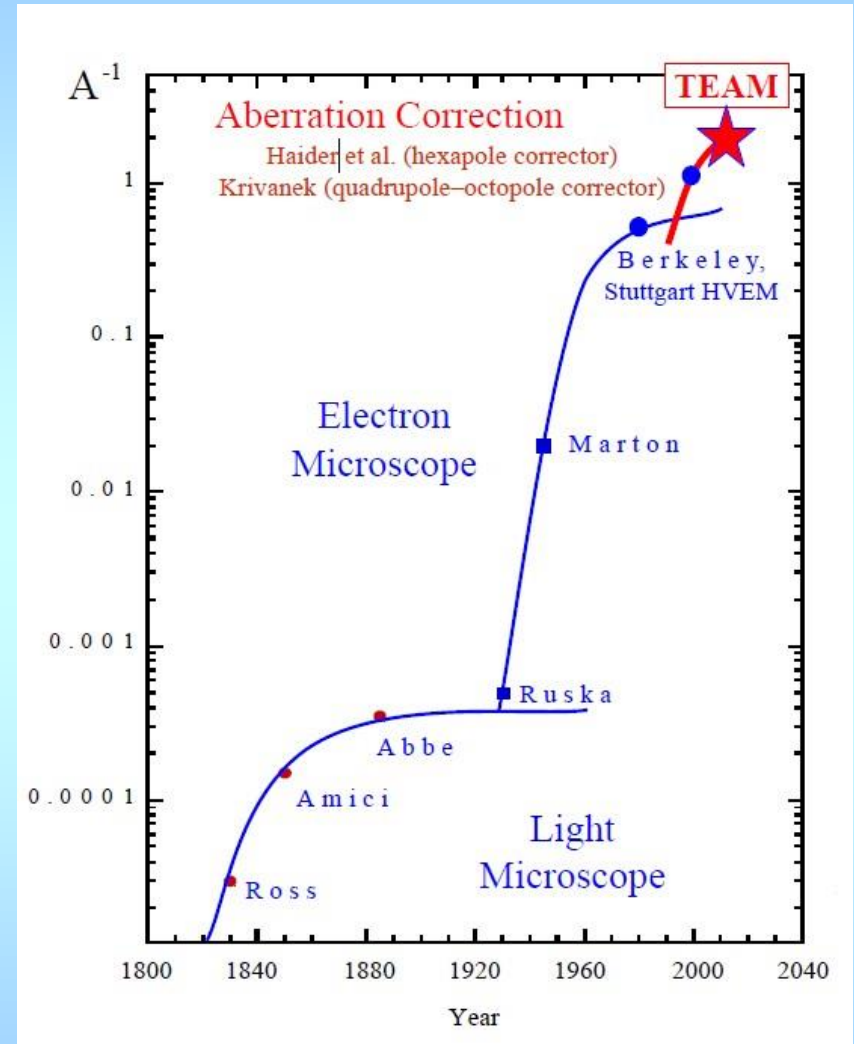
$$d \geq 100 \lambda$$

$$U \leq 300 \text{ kV} \Rightarrow \lambda \geq 2 \text{ pm}$$

Otto Scherzer (1947): o možnosti korekce vad zařazením sad rotačně nesymetrických čoček (multipólů)



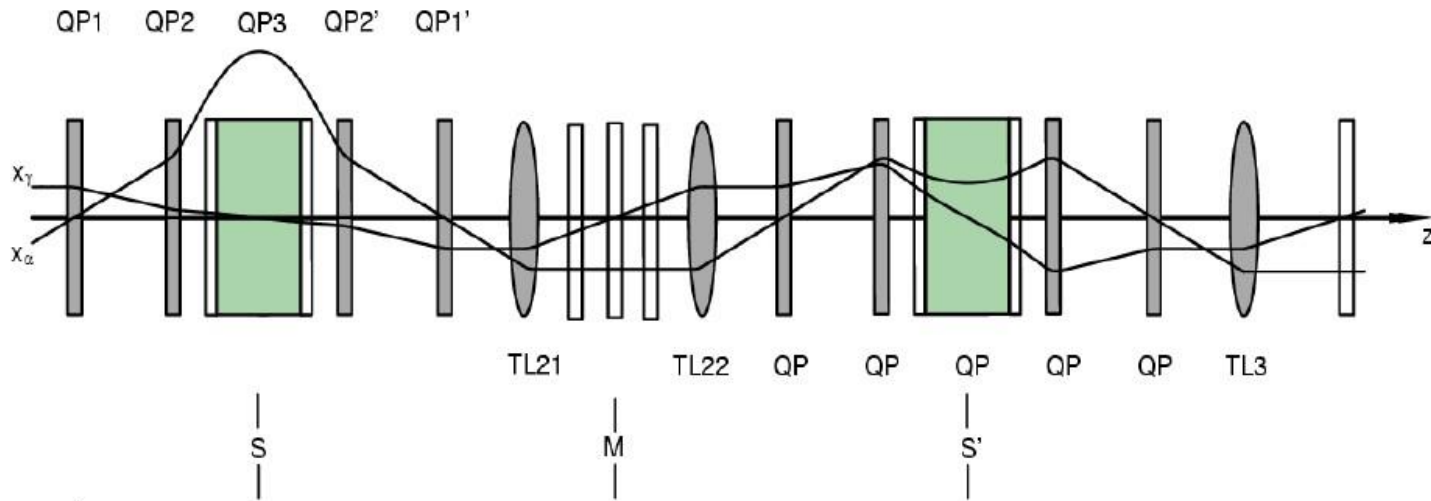
Harald H. Rose, projekt TEAM



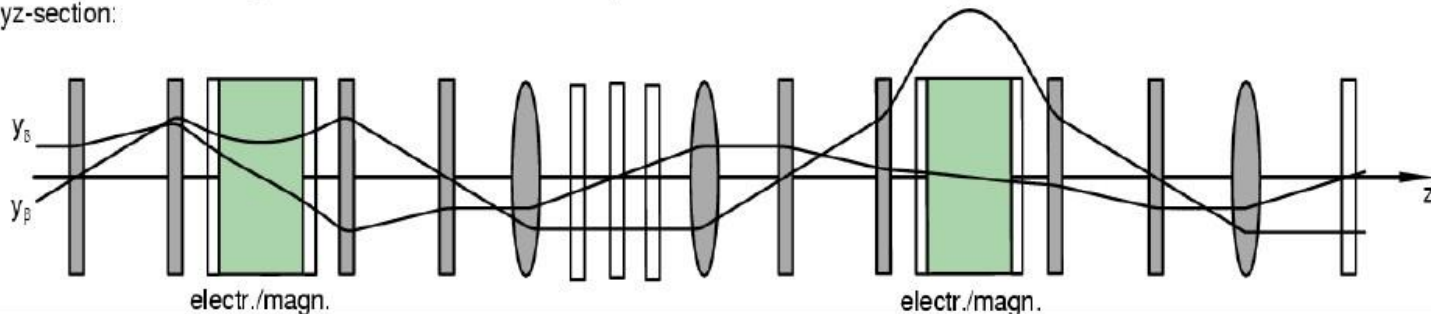
Blok korektori:

Compound Achromator and Aplanator (Achroplanator)

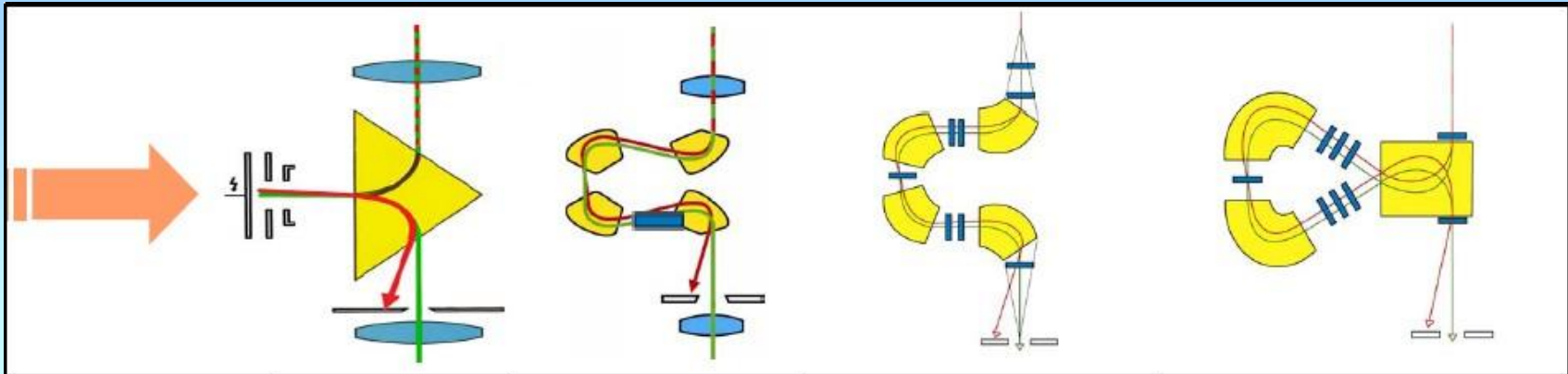
xz-section:



yz-section:

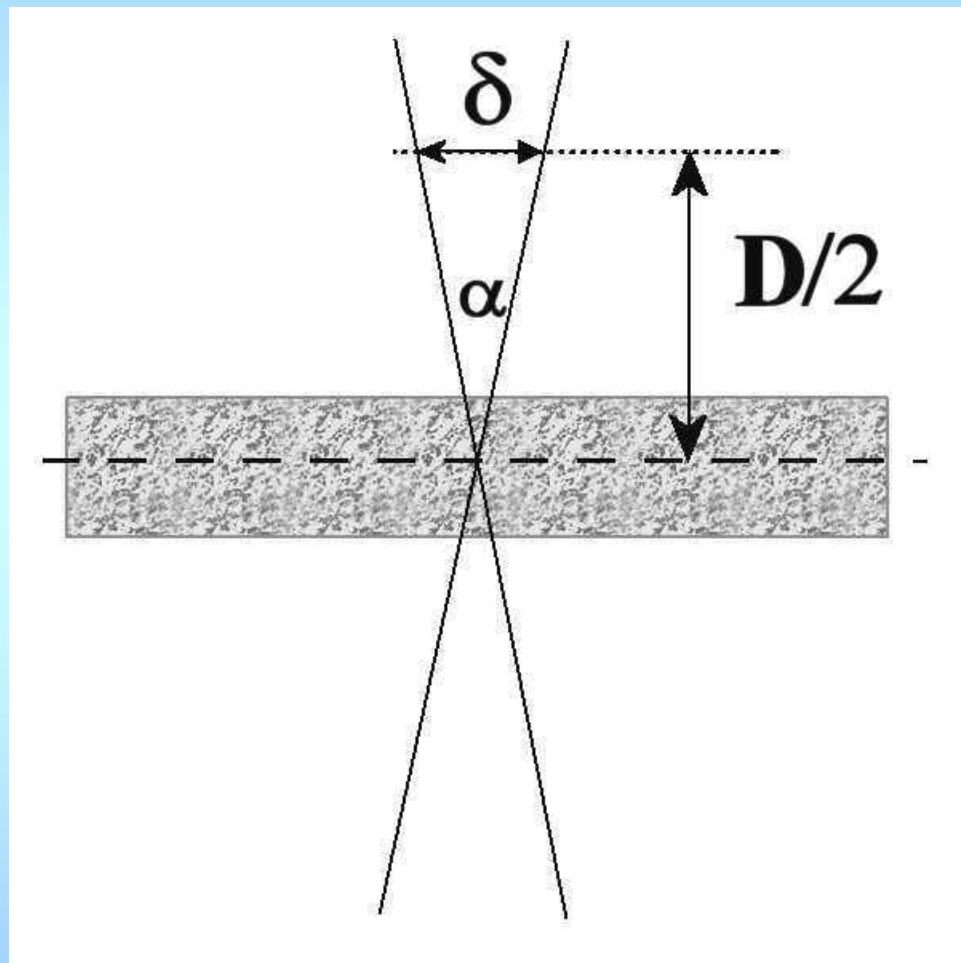


Energiové filtry:



Type and Designers	Prism – Filter Castaing-Henry	OMEGA – Filter Lanio-Krahl-Rose	Corrected OMEGA – Filter Rose-Krahl	MANDOLINE – Filter Uhlemann-Rose
First realization	Henry 1964	Krahl 1992	Krahl (FHI Berlin) 1986	Essers (Zeiss) 2005
Commercial Microscope	ZEISS EM 902	Zeiss 912 / 922	SESAME I / II Zeiss Libra 200	Zeiss SESAME
High Voltage	80 kV	120 kV / 200 kV	200 kV FEG	200 kV FEG
Dispersion	1,5 $\mu\text{m}/\text{eV}$ (80kV)	0,75 $\mu\text{m}/\text{eV}$ (200kV)	1,85 $\mu\text{m}/\text{eV}$ (200kV)	6,2 $\mu\text{m}/\text{eV}$ (200kV)
Correction	none	partial second-order correction	2. order corrected 3. order optimized	2. order corrected 3. order corrected
Non- Isochromaticity	23 eV	15 eV	isochromatic	isochromatic
Transmissivity @ 1eV	$12 \times 10^{-6} \mu\text{m}^2$ (80kV)	$9,3 \times 10^{-6} \mu\text{m}^2$ (200kV)	$0,2 \times 10^{-3} \mu\text{m}^2$ (200kV)	$11 \times 10^{-3} \mu\text{m}^2$ (200kV)

Hloubka pole (D) a hloubka ostrosti (D'):



$$D = \frac{2\delta}{\alpha}$$

Příklad TEM:

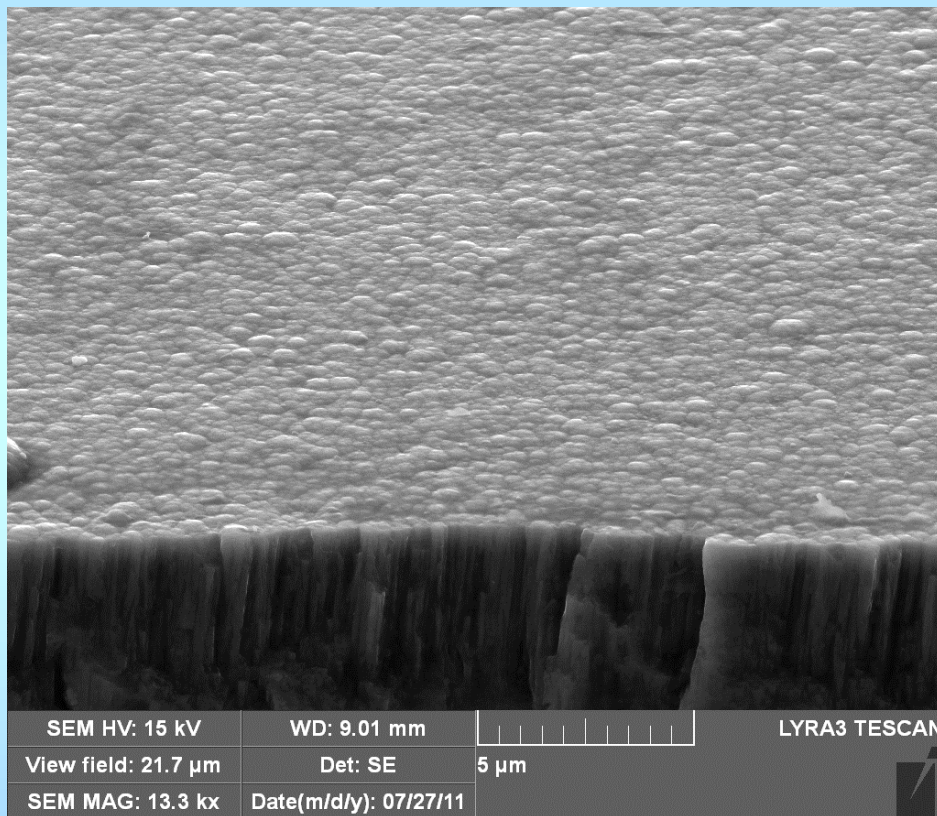
Pro $\delta \approx 2\text{nm}$, $\alpha \approx 6\text{mrad}$ je
 $D \approx 700\text{nm} > \text{tloušťka vzorku}$.

Na stínítku pak

$$D' = D \cdot M^2,$$

pro $M = 53000$ je $D' \approx 2\text{km}$!
(pro $\delta \approx 0.1\text{nm}$ je $D' \approx 100\text{m}$)

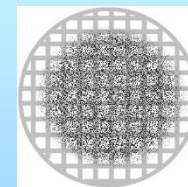
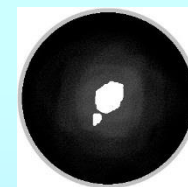
Hloubka pole (D) a hloubka ostrosti (D '):
povrch vzorku skloněný 70°



Příprava vzorků pro elektronovou mikroskopii

SEM: metalografické výbrusy, případně naleptání
základní požadavek: vodivost (+C, Au)
náročnější příprava např. pro EBSD

TEM: tenké fólie (ztenčení, důlek, finální úprava
elektrolyticky nebo iontovým ztenčováním)
repliky povrchu
extrakční repliky
prášky aj. na uhlíkové blance (+Cu mřížka)
FIB



replika povrchu

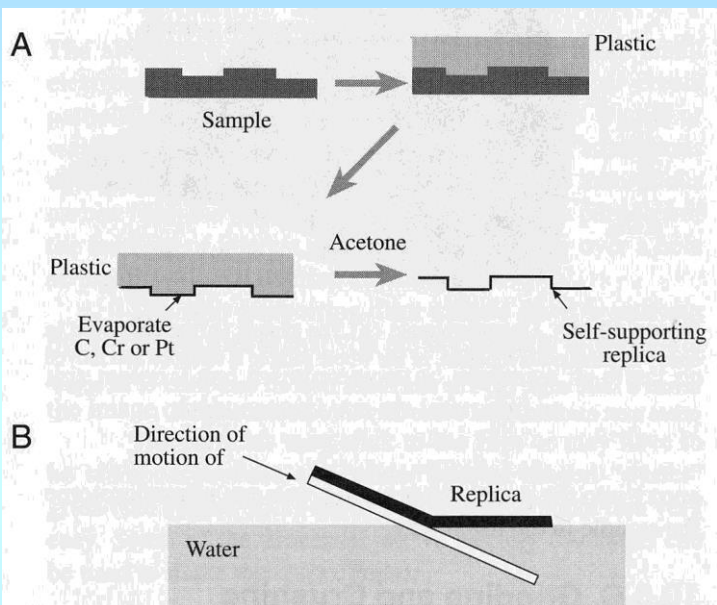


Figure 10.15. (A) Replication of a surface by the two-step method: spray acetone on the surface to be replicated before pressing a plastic (usually cellulose acetate) onto the surface which softens in contact with the acetone; the plastic is removed from the surface when it has hardened and a C, Cr, or Pt film is evaporated onto the replicated plastic surface; the plastic is then dissolved with acetone and the evaporated film retains the original topography. (B) Alternatively, the direct carbon replica of a metal surface may be floated off on distilled water after scratching the carbon and etching to free the film, which may subsequently be shadowed obliquely to enhance the topography.

extrakční replika

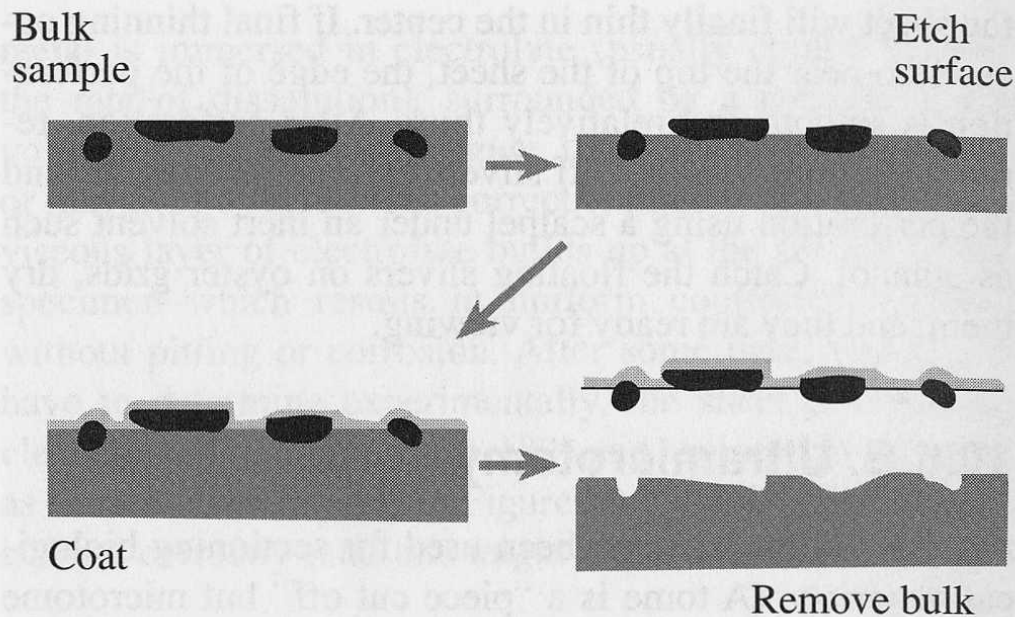
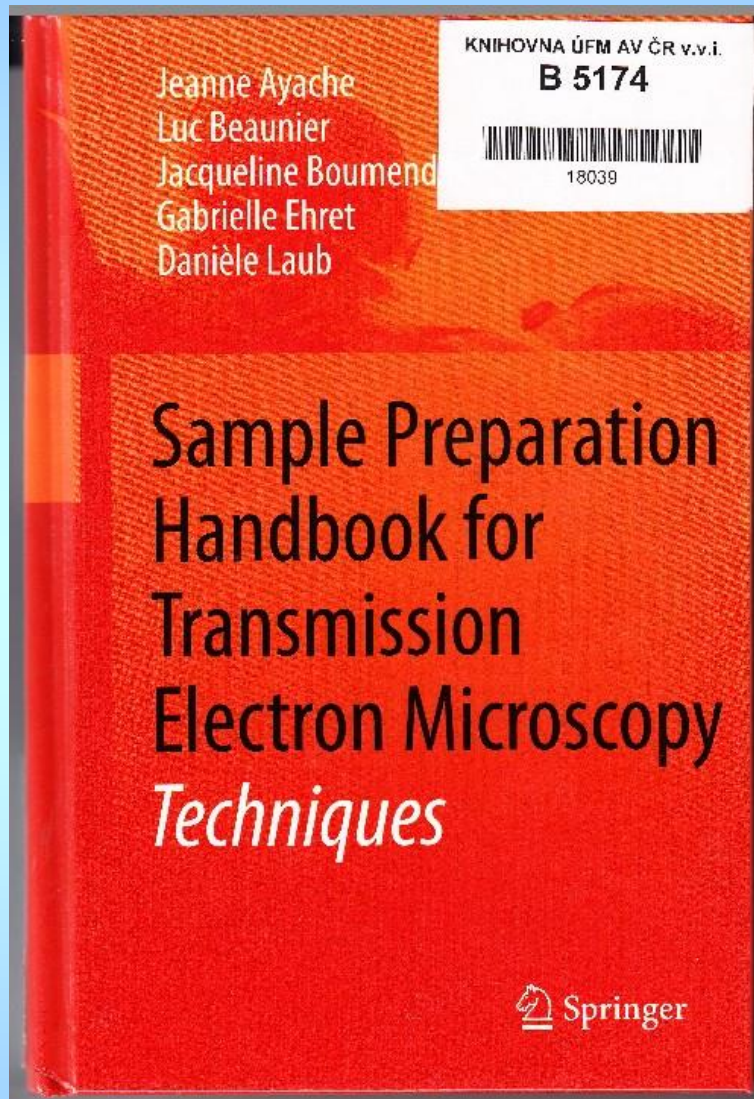


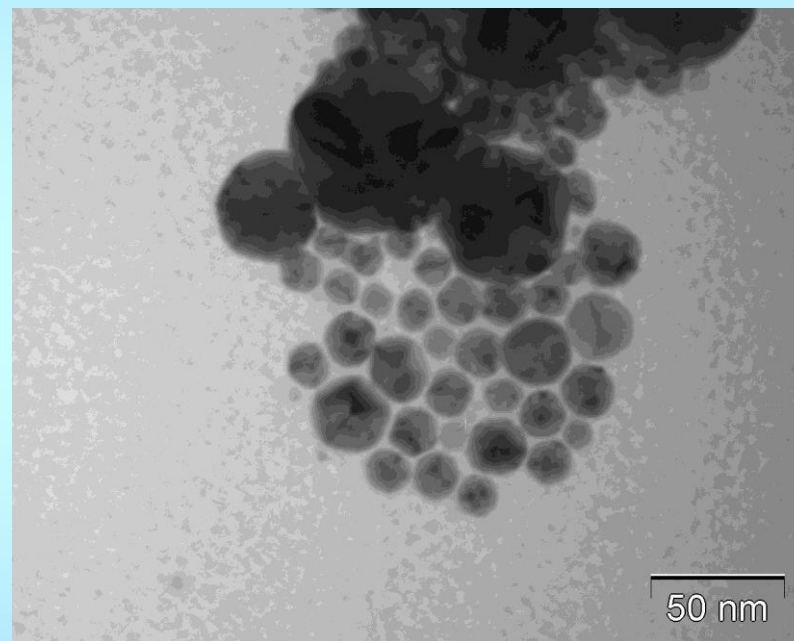
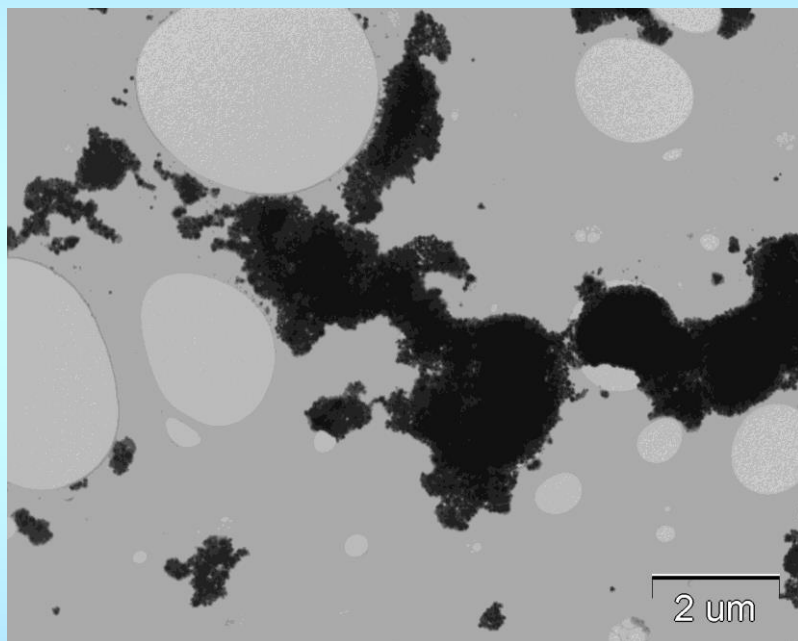
Figure 10.16. Extraction replication: particles embedded in a matrix are revealed by etching the matrix, which leaves the particles standing proud of the surface; a thin amorphous carbon film is evaporated over the particles, then the rest of the matrix is etched away leaving the particles adhering to the carbon film.



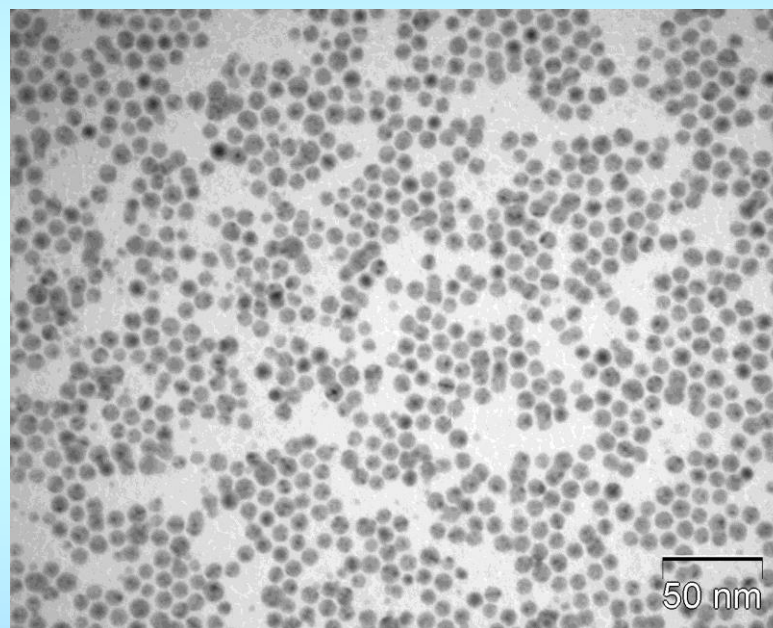
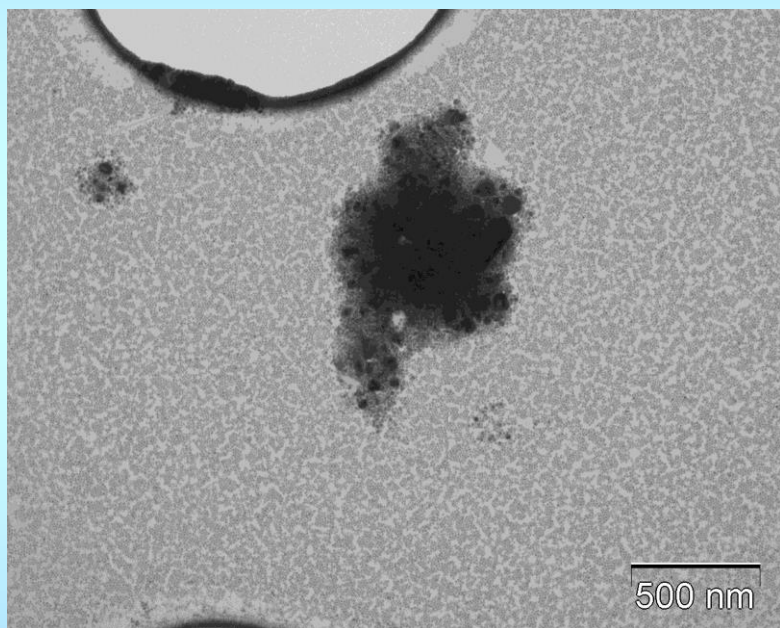
*When faced with a choice,
Regardless of the path you choose,
Don't go down it halfway.
Be patient, be persistent,
Be courageous, and creative.
The reward is at the end....*

Jeanne Ayache

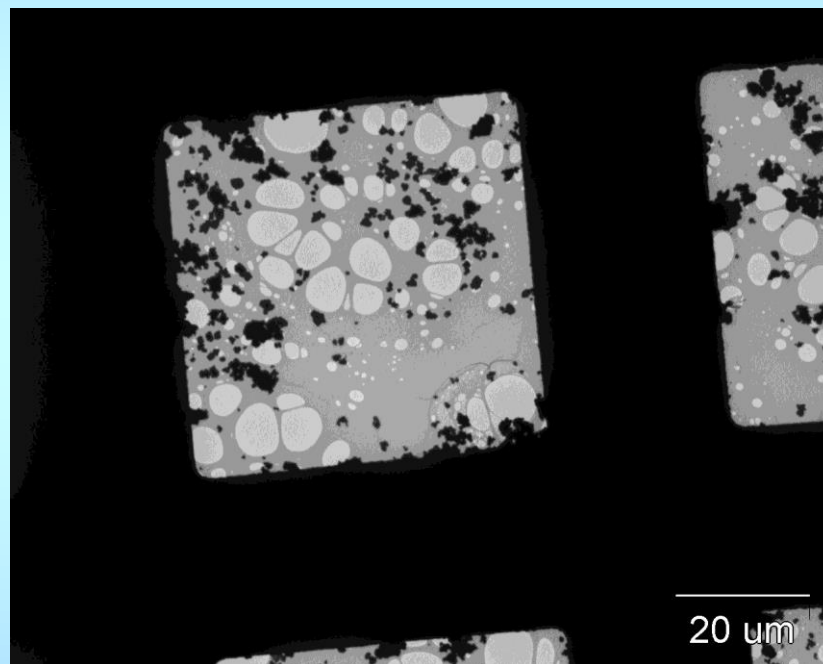
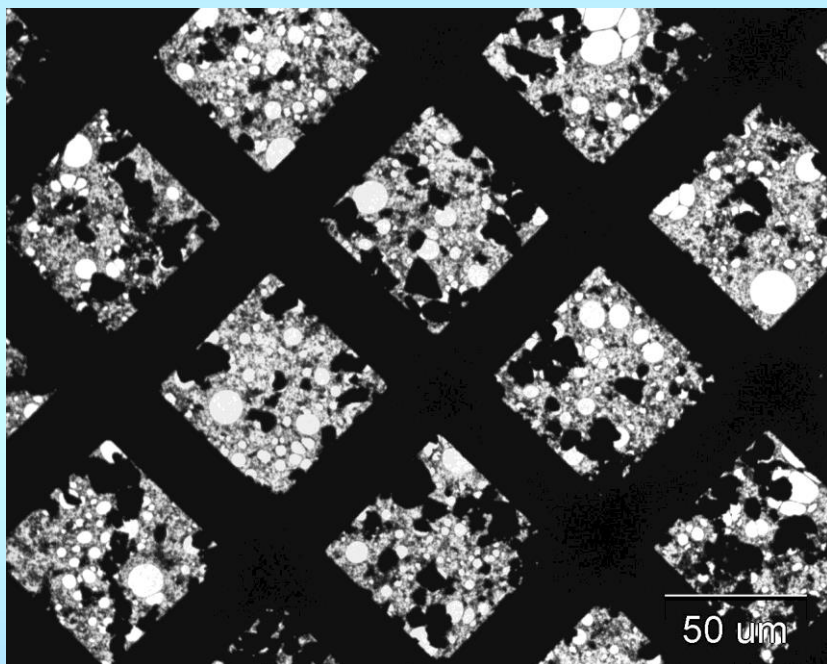
(Nano)prášky na uhlíkové blance (+Cu mřížka)



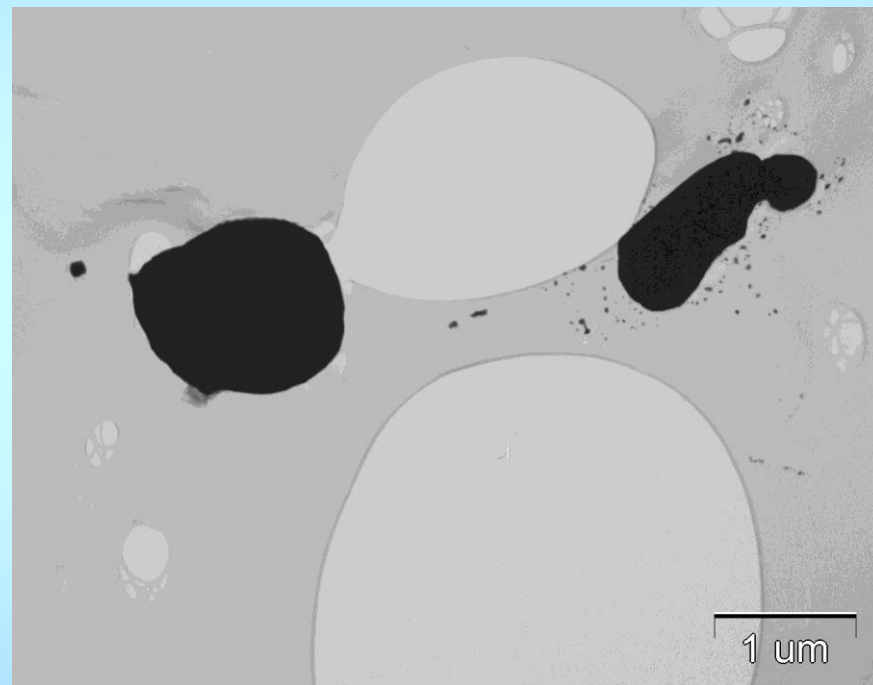
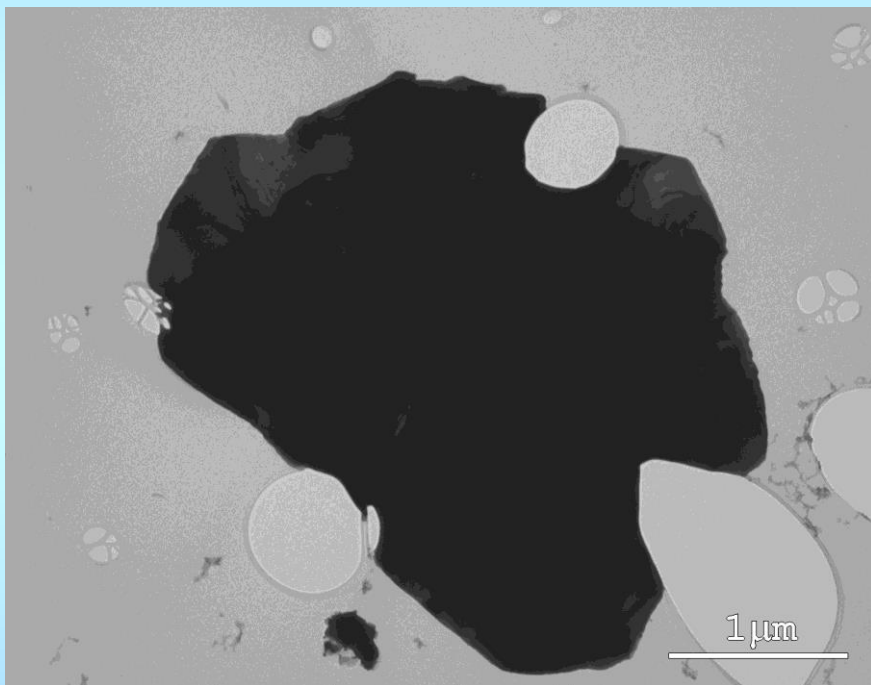
(Nano)prášky na uhlíkové blance (+Cu mřížka)



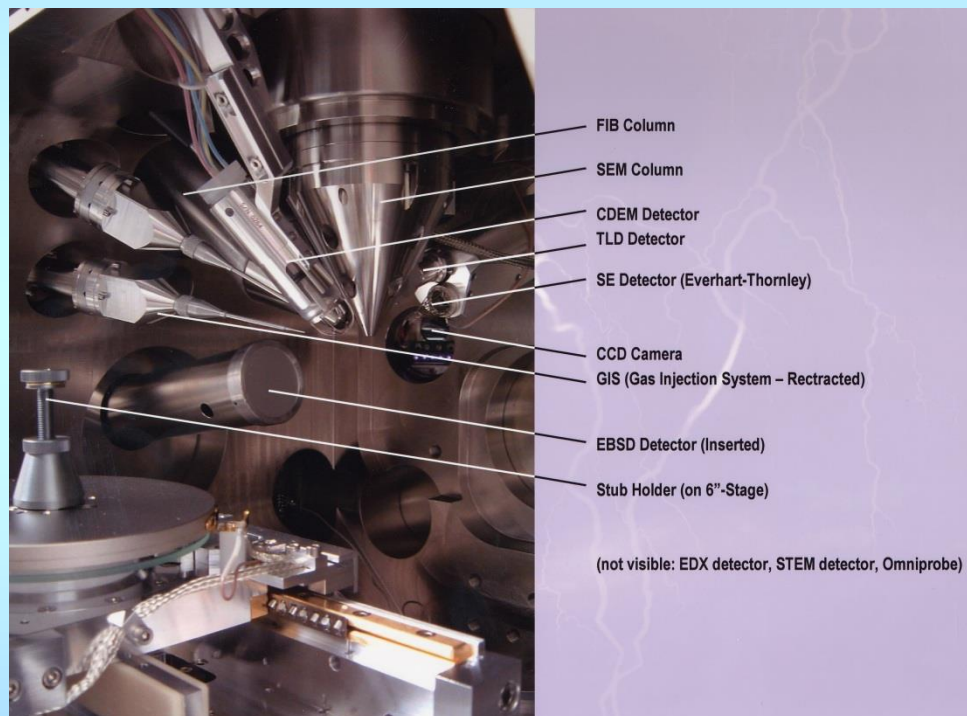
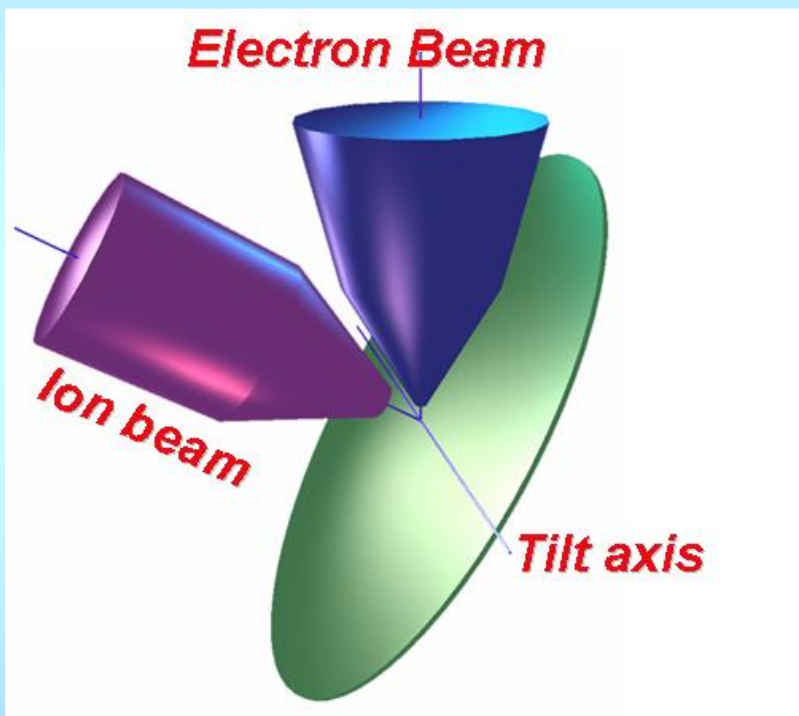
Drcený křehký vzorek na uhlíkové blance (+Cu mřížka):



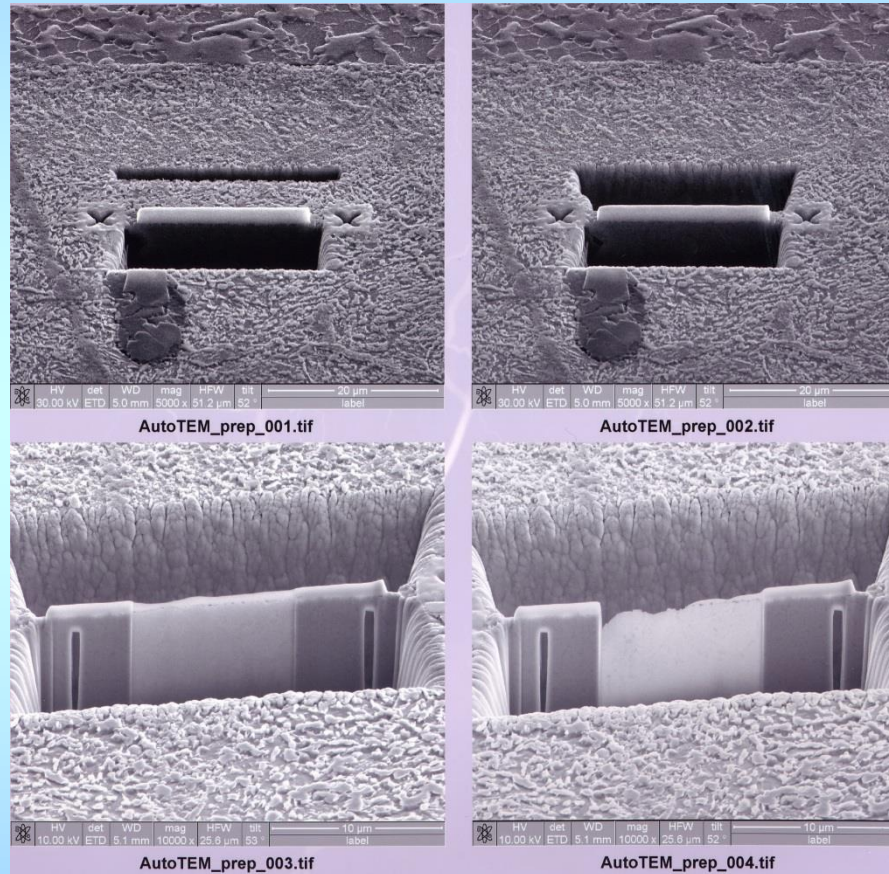
Drcený křehký vzorek na uhlíkové blance (+Cu mřížka):
nebezpečí modifikace vzorku energetickým svazkem elektronů



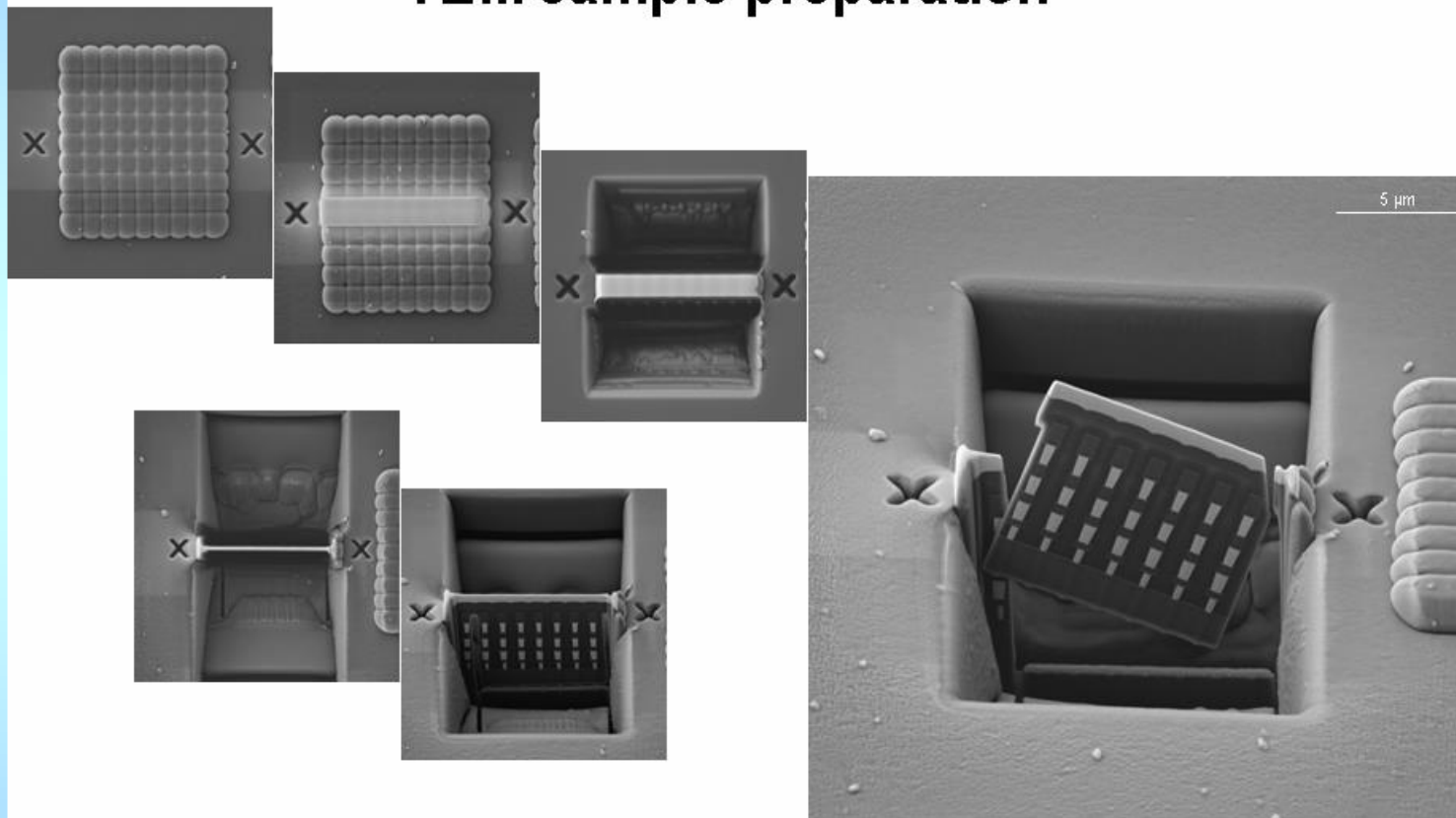
Moderní doplněk SEM: technika přípravy fólií pro TEM z míst vybraných na základě pozorování v SEM (FIB – focused ion beam)



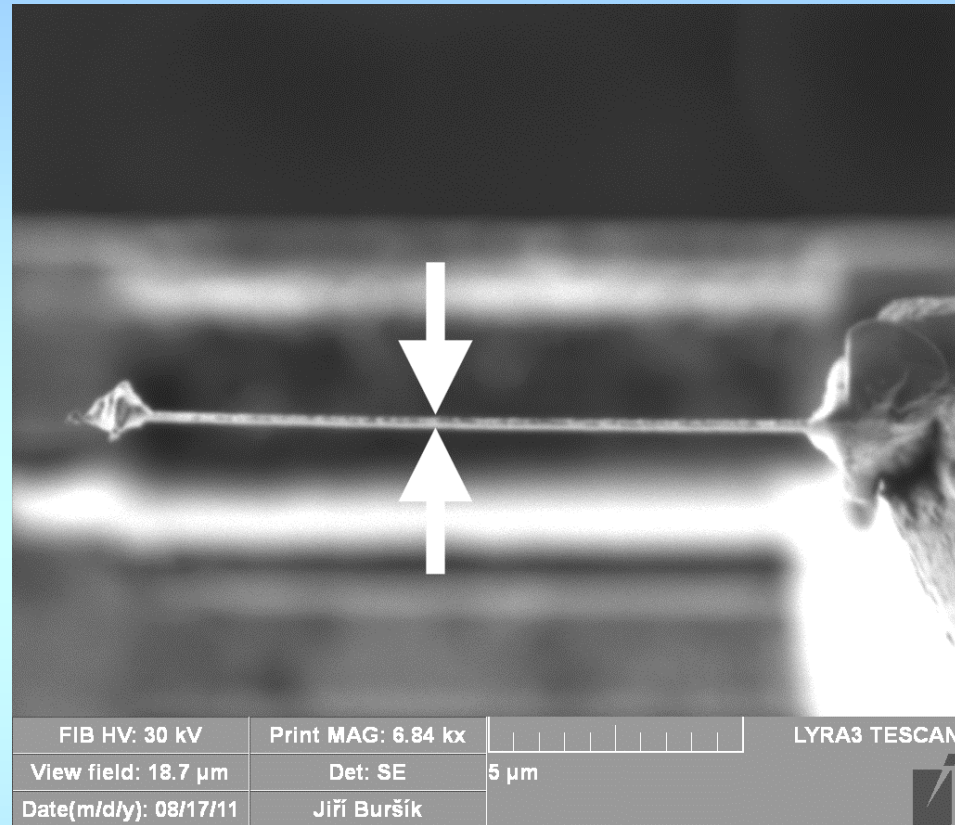
Přesný výběr oblasti vzorku pro TEM (cca 50 nm!)



TEM sample preparation



Příprava lamelky pro TEM pomocí FIB:



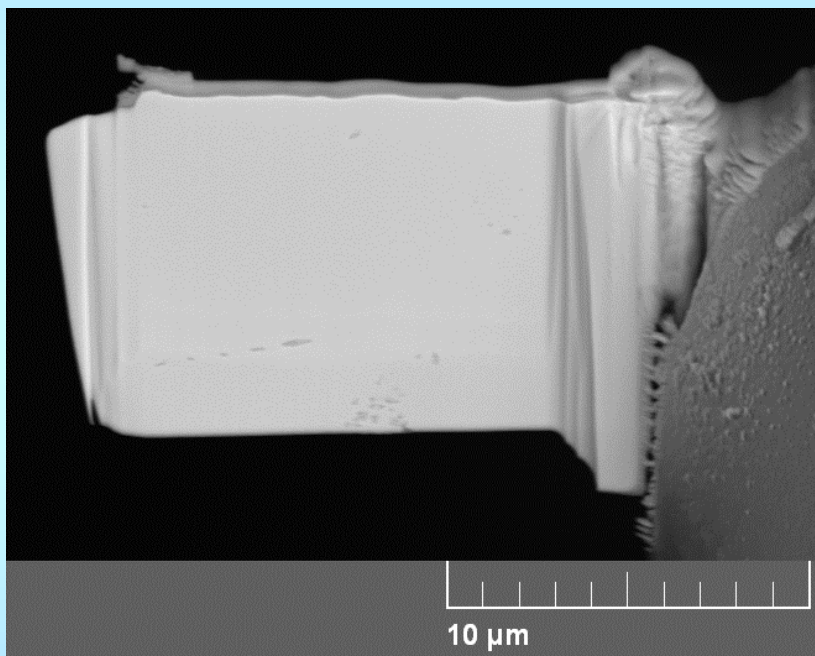
Pt ochranná vrstva $12 \times 2 \mu\text{m}$, tloušťka Pt $1 \div 2 \mu\text{m}$

FIB: 30 kV, proudy $16 \text{ nA} \rightarrow 4 \text{ nA} \rightarrow 900 \text{ pA} \rightarrow 300 \text{ pA}$ (diskuse artefaktů)

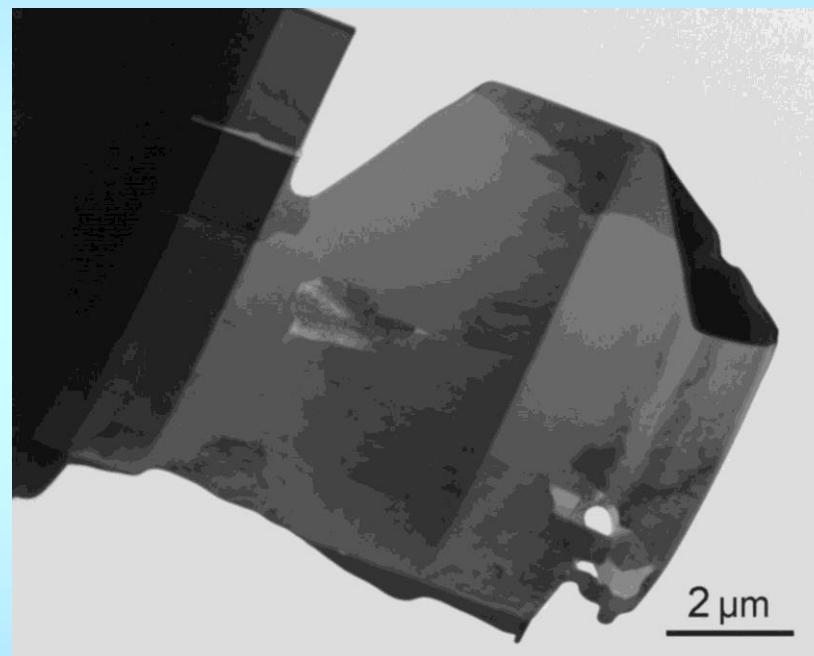
Dolešťování s náklonem $\pm 2^\circ$ nebo $\pm 1^\circ$

Finální rozměry lamely cca $10 \mu\text{m} \times 8 \mu\text{m} \times 100 \text{ nm}$

Lamelka v SEM
před finálním ztenčením:

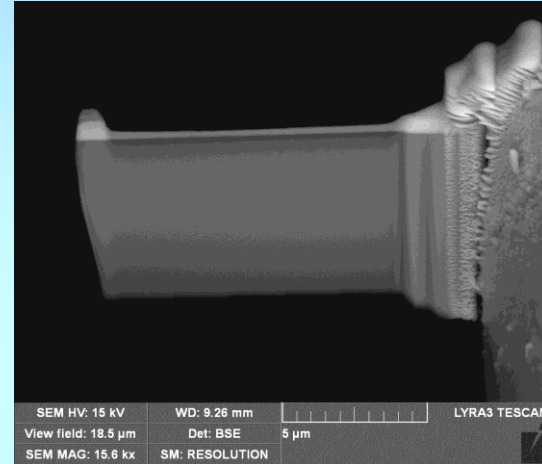
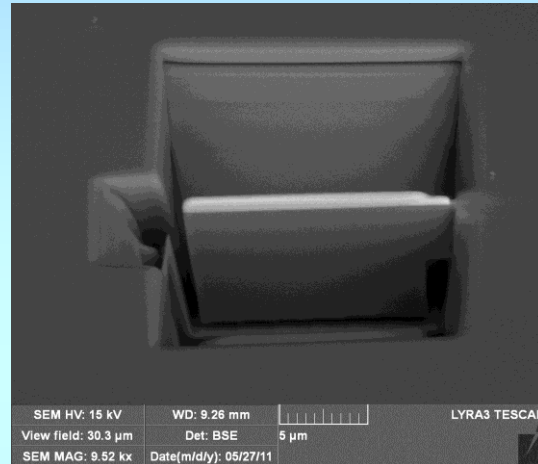


Lamelka v TEM
(přehledové zvětšení):

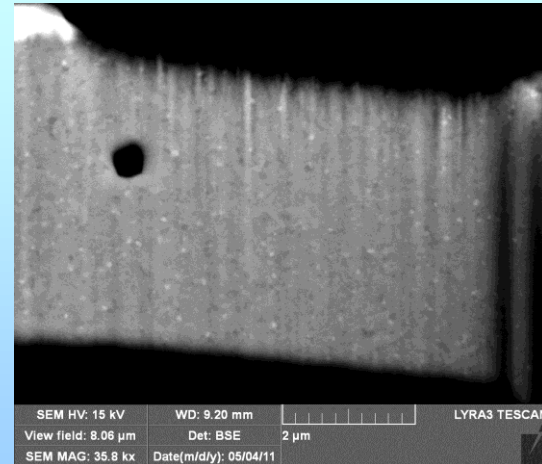
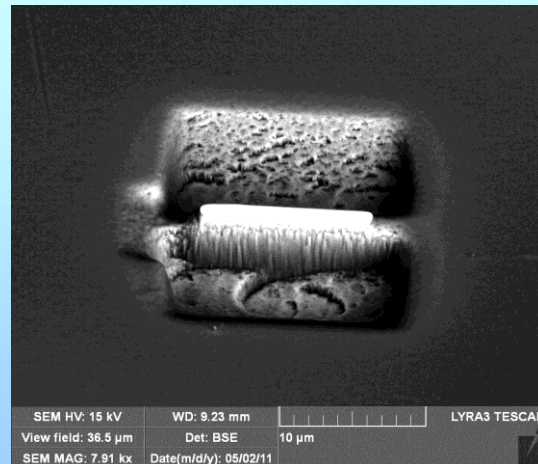


Materiál při přípravě lamelky reaguje selektivně: Příklad pásků Fe–Si–Nb připravených metodou melt spinning a následně žíhaných za různých podmínek

470 °C, vac.



650 °C, vac.



Další literatura:

